

2018年花蓮地震調查與探討

NAR Labs
國家實驗研究院

從花蓮地震淺談橋梁跨越斷層 對耐震性能的影響

Hung Hsiao Hui (洪曉慧)

國家地震工程研究中心 橋梁組

2018/05/29

www.narlabs.org.tw

簡報大綱

NAR Labs

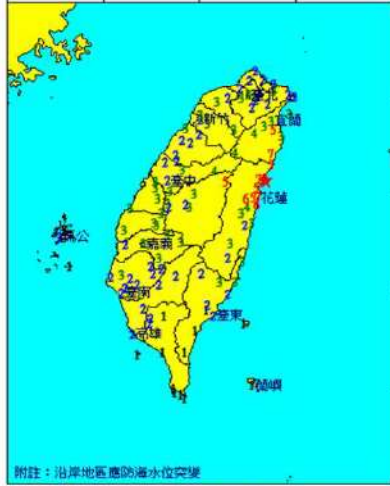
- 花蓮地震橋梁震損調查
- 過去地震經驗
- 跨越斷層橋梁受震行為分析
- 比較與討論

0206 花蓮地震

NAR Labs

Depth = 6.31Km
Magnitude ML= 6.26

119 120 121 122 123



附註：沿岸地區應防海水位突變

圖說：★表震央位置，阿拉伯數字表示該測站震度

中央氣象局地震報告

編號：第107022號
日期：107年2月6日
時間：23時50分42.6秒
位置：北緯24.14度，東經121.69度
即在花蓮縣政府北偏東方18.3公里
位於花蓮縣近海
地震深度：10.0公里
芮氏規模：6.0

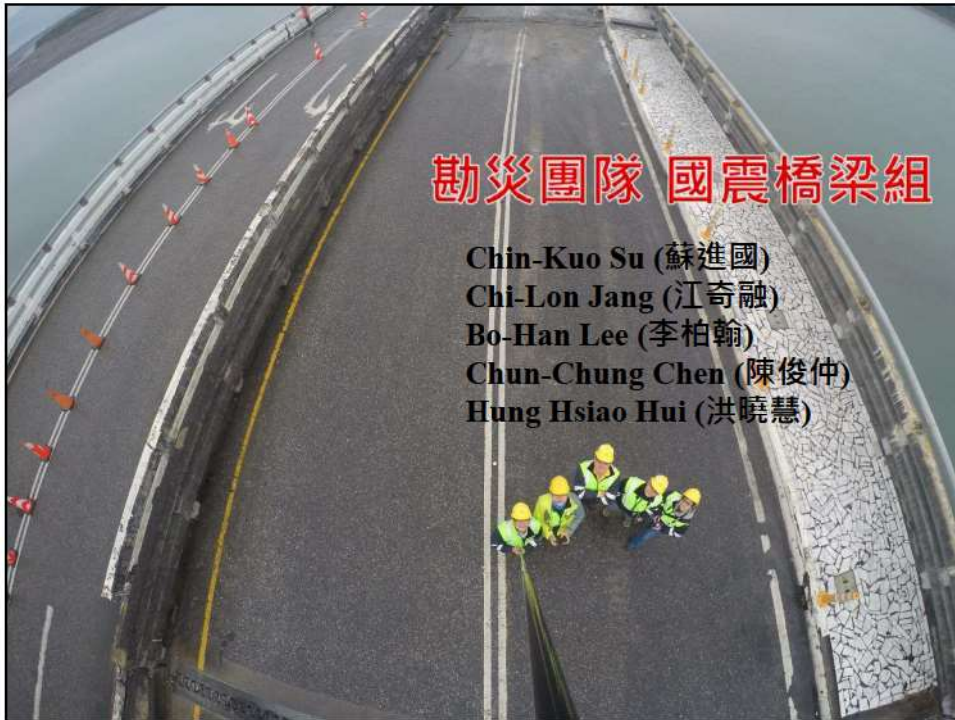
各地最大震度

花蓮縣花蓮市	7級	彰化縣彰化市	3級
宜蘭縣南澳	7級	雲林縣斗六市	3級
南投縣合歡山	5級	嘉義市	3級
臺中市德基	4級	新北市	3級
雲林縣林敏	4級	苗栗縣竹南	3級
桃園市三光	3級	臺南市佳里	3級
宜蘭縣宜蘭市	3級	新竹市	2級
新竹縣竹東	3級	苗栗縣苗栗市	2級
臺東縣長濱	3級	臺中市	2級
臺北市信義區	3級	基隆市	2級
臺北市	3級	新北市萬里	2級
新竹縣竹北市	3級	新北市石門	2級
新北市五分山	3級	高雄市桃源	2級
南投縣南投市	3級	臺東縣臺東市	2級
嘉義縣阿里山	3級	臺南市	2級
彰化縣員林	3級	屏東縣九如	2級

本報告係中央氣象局地震觀測網即時陣地震資料地震通報之結果。



from Central Weather Bureau



勘災團隊 國震橋梁組

Chin-Kuo Su (蘇進國)
Chi-Lon Jang (江奇融)
Bo-Han Lee (李柏翰)
Chun-Chung Chen (陳俊仲)
Hung Hsiao Hui (洪曉慧)

Investigation route - Day I (Feb 8)



Investigation route - Day II along Meilun Creek

NAR Labs



Nearby Strong-Motion Stations

NAR Labs

PGA (gal)

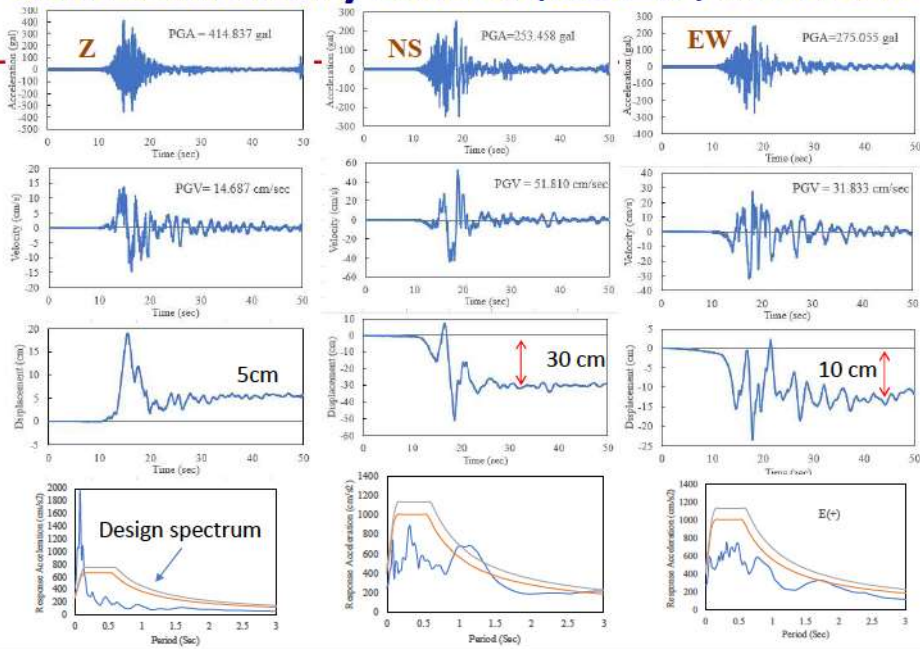
	Z	NS	EW
HWA028	414.84	253.46	275.05
HWA014	397.08	218.82	316.99
HWA012	338.37	280.62	279.70
HWA019	211.01	368.55	402.99
HWA060	280.76	462.55	477.90

PGV (cm/s)

	Z	NS	EW
HWA028	14.68	51.81	31.83
HWA014	25.85	55.19	146.46
HWA012	27.01	63.88	84.85
HWA019	26.80	95.73	138.38
HWA060	31.17	58.42	50.40

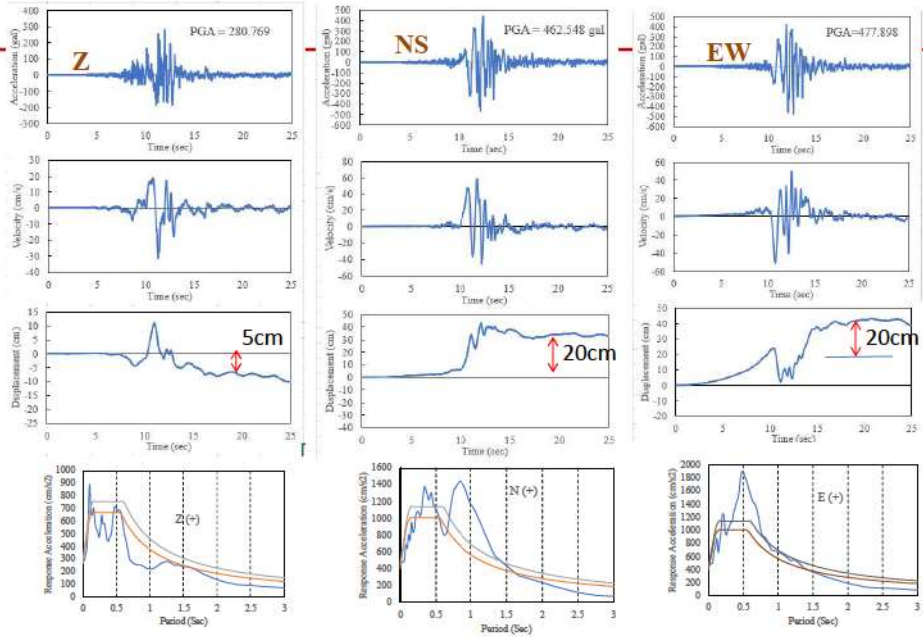


Jiali Elementary School (嘉里國小)-HWA028



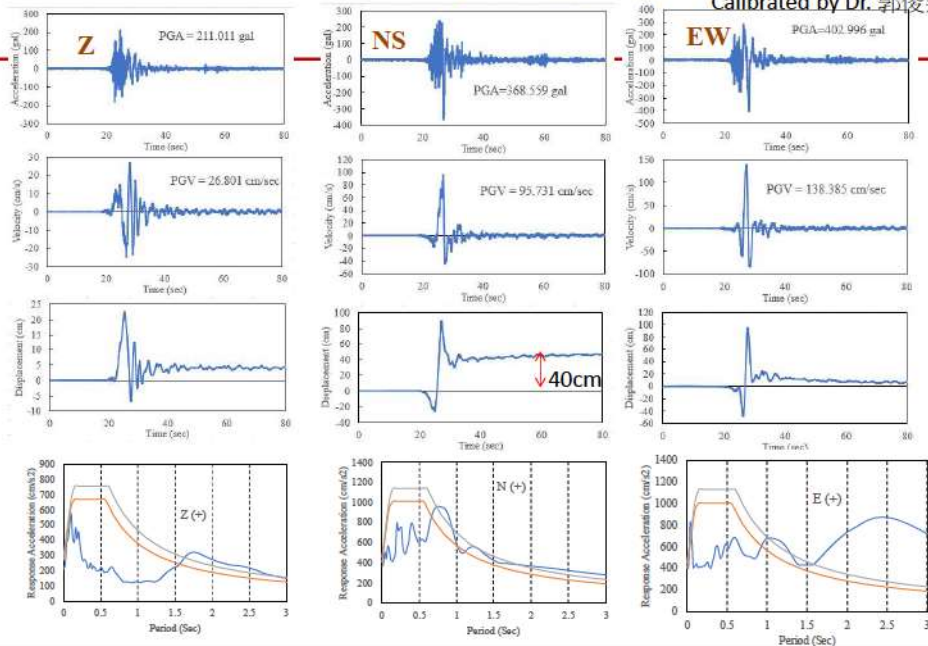
Yanliao (鹽寮)-HWA060

NAR Labs



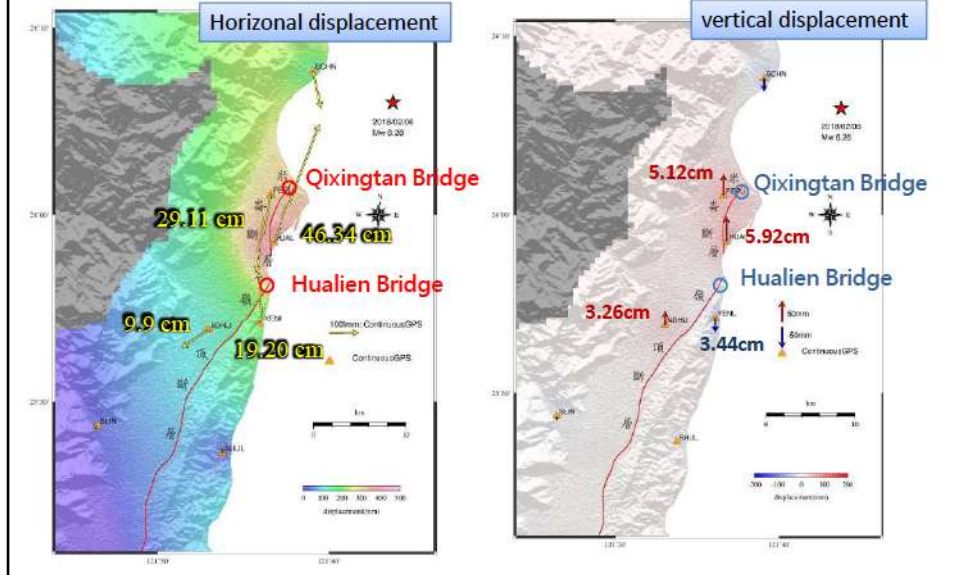
Hualien Weather Station (花蓮氣象站)-HWA019

Calibrated by Dr. 郭俊翔



Co-seismic Displacement Estimated by GPS **NAR Labs**

excerpted from 20180206 花蓮地震地質調查報告 by CENTRAL GEOLOGICAL SURVEY



Possible Moving Direction of Ground Surface **IAR Labs** nearby the bridge sites



Qixingtian Bridge

NAR Labs

Completed in 2013

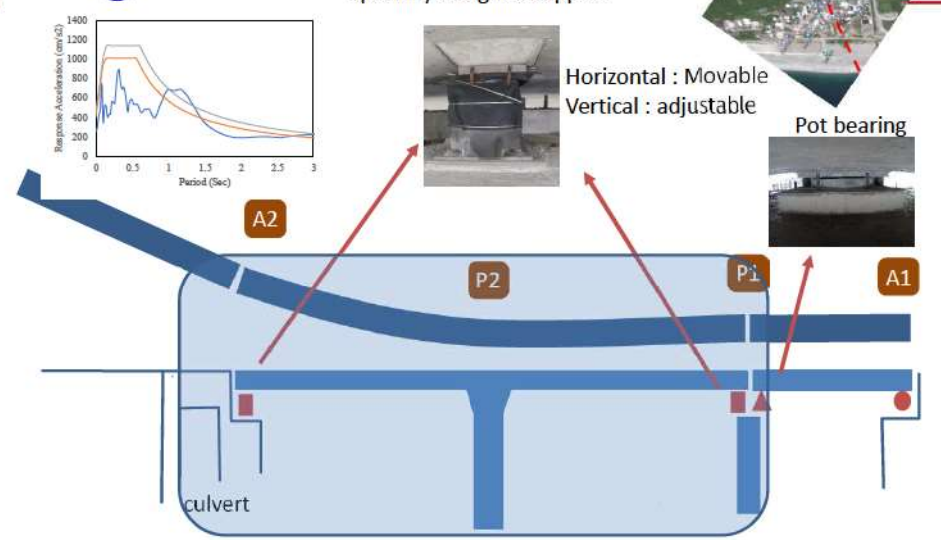


七星潭聯外高架橋今上午通車

時間: 2013-10-25 16:54:34 來源: 花蓮縣政府 作者: 楊竹清 瀏覽人數: 1231

高架橋工程沿著既有道路向空軍基地側拓寬，橋面主線全長 710 公尺，採高架 15 公尺雙向雙車道斷面設計，於 100 年 7 月 22 日開工，102 年 10 月 25 日完工通車，費時 2 年 3 個月。

Configuration of Qixingtian Bridge



Will not be affected by the differential displacements between substructure



Qixingtan Bridge

NAR Labs



Qixingtan Bridge

NAR Labs



Qixingtang Bridge

NAR Labs



Qixingtang Bridge

NAR Labs



Qixingtang Bridge

NAR Labs



Qixingtang Bridge

NAR Labs



Qixingtan Bridge

NAR Labs





Qixingtang Bridge

NAR Labs



Qixingtang Bridge

NAR Labs



Qixingtang Bridge (P1)

NAR Labs



Qixingtan Bridge (P2)

NAR Labs



Hualien Bridge

NAR Labs

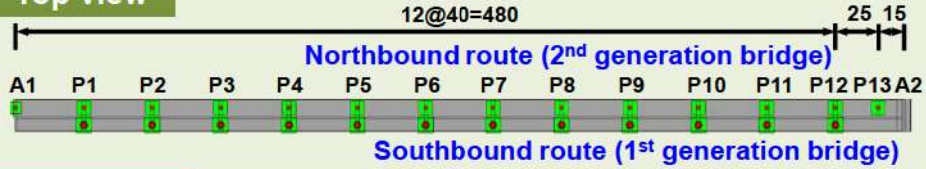


Hualien Bridge

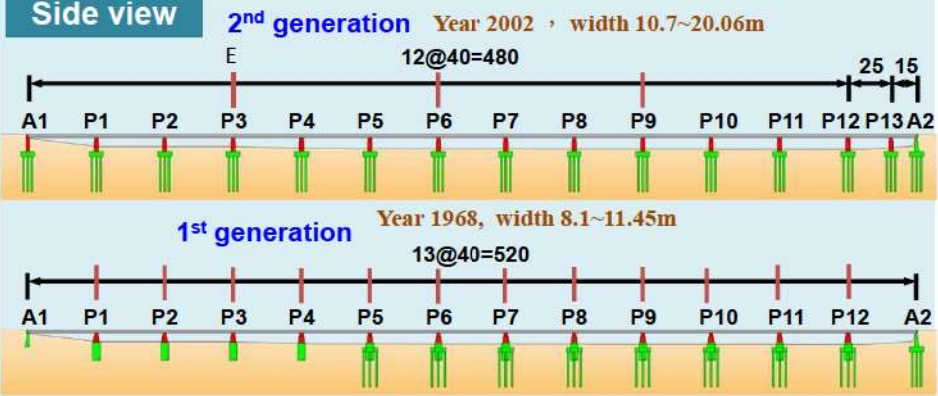
NAR Labs

From CECI

Top view

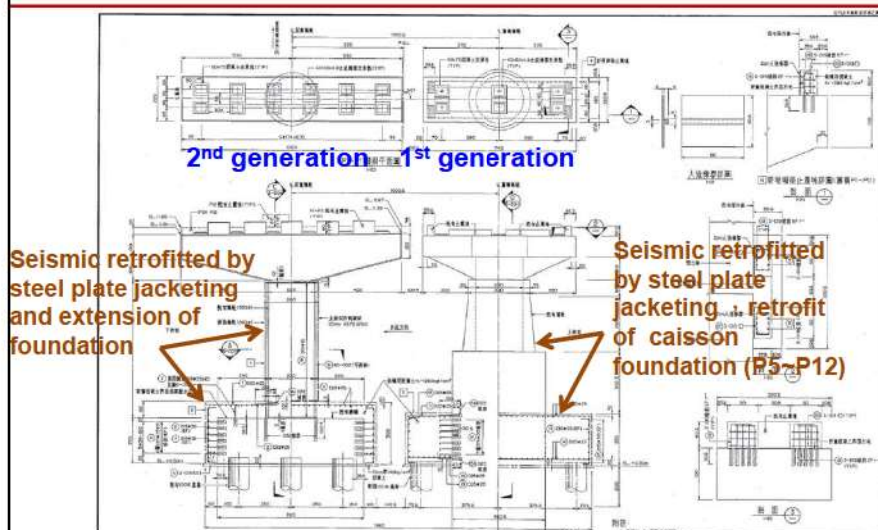


Side view



Hualien Bridge

NAR Labs



2012

Hualien Bridge

NARLabs



Hualien Bridge

NARLabs



Hualien Bridge

NAR Labs



Hualien Bridge

NAR Labs



Hualien Bridge

NAR Labs



P12 expansion joint



P13 expansion joint

Hualien Bridge

NAR Labs



A2 abutment



A2 abutment

Hualien Bridge (P9)

NAR Labs

Taken by Dr. 林正偉



Hualien Bridge (P12)

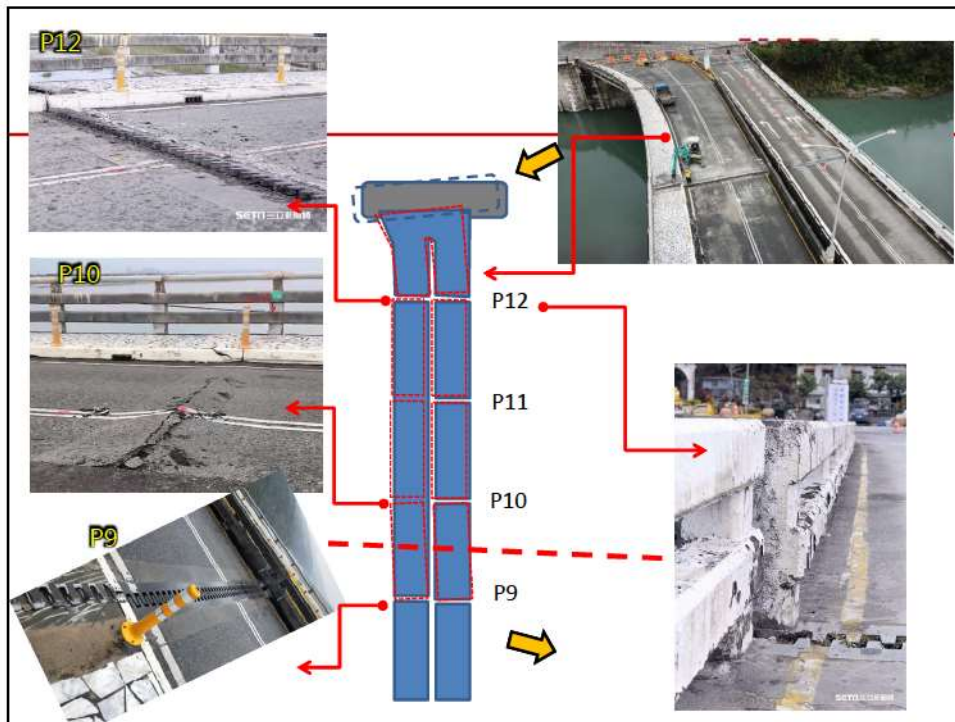
NAR Labs⁴⁰



Hualien Bridge (P12)

NAR Labs





Hualien Bridge (P10)

NAR Labs



Hualien Bridge (P11)

NARLabs



Hualien Bridge (P12)

NARLabs



Hualien Bridge (P13)

NAR Labs



Investigation route - Day II

NAR Labs
along Meilun River





Hualien City NO.3 Bridge

NAR Labs



Hualien City NO.3 Bridge

NAR Labs



Hualien City NO.3 Bridge

NAR Labs



Hualien City NO.3 Bridge

NAR Labs



Hualien City NO.3 Bridge

NAR Labs



Hualien City NO.3 Bridge

NAR Labs



Shangzhi Bridge

PCI bridge

Completed in 2001
Simply supported bridges



Shangzhi Bridge

NAR Labs



Shangzhi Bridge

NAR Labs



Shangzhi Bridge

NAR Labs



Shangzhi Bridge

NAR Labs



Shangzhi Bridge



921 地震經驗

NAR Labs

921 集集大地震斷層線圖



石圍橋



烏溪橋

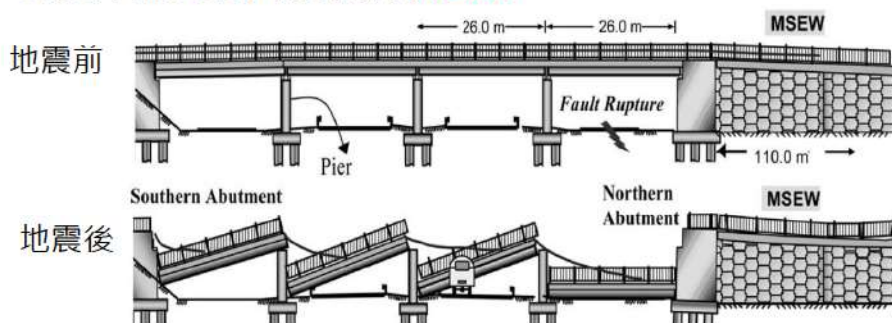
名竹大橋



1999 年土耳其地震經驗

NAR Labs

8月17日 Kocaeli 地震 / 規模 $M=7.4$



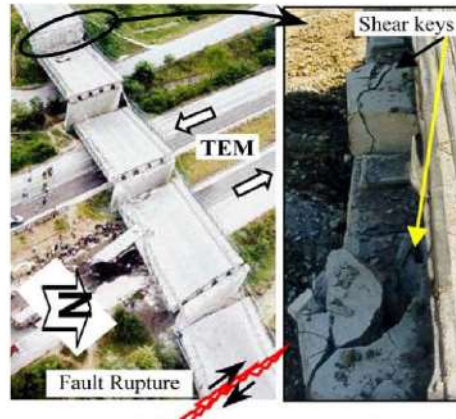
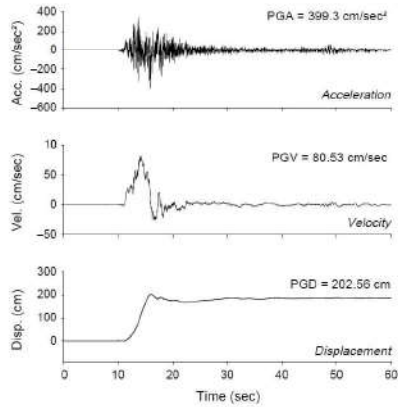
Arifiye 高架橋

- ✓ 四跨預鑄簡支梁
- ✓ 60度斜橋
- ✓ 支承為橡膠支承墊

1999 年土耳其地震經驗

NAR Labs

8月17日 Kocaeli 地震 / 規模M=7.4



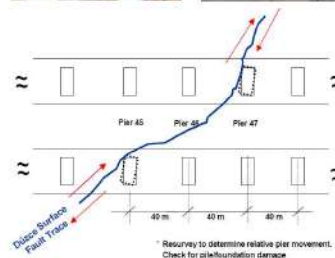
摘自 Ulusay, R., Aydan, O., Hamada, M. (2002)
Pamuk, A., Kalkanb, E., Linga, H.I. (2005)

1999 年土耳其地震經驗

NAR Labs

11月12日 Duzce地震 / 規模M=7.2

土耳其博盧高架橋 (Bolu Viaduct)



- ✓ 59跨之連續簡支梁橋
- ✓ 跨徑約40 m
- ✓ 盤式支承，搭配能量消散裝置 (Energy Dissipation Unit , EDU)

摘自 Ghasemi, H. (2004). Bolu Viaduct:
Damage Assessment and Retrofit Strategy

Observations and Discussions **NAR Labs**

- ❑ Bridges crossing active faults may be subjected to **large differential displacements** between adjacent piers and/or abutments due to surface faulting. Therefore, it is important to provide the **sufficient displacement capacity**.
- ❑ For the **simply supported bridge** with support of neoprene pad, simple spans **can tolerate large relative movements**, so most of the damage occurs at the expansion joint or hinge connection at the deck, dislocation of the neoprene pad, and the crack of the seismic stopper. However, it is **difficult to ensure that the spans do not become unseated**, especially for the longitudinal direction.
- ❑ For a **continuous bridge with superstructures integrated with substructures** will reduce the probability of total collapse. However, the substructure has to accommodate the amount of relative displacement across a fault.

Observations and Discussions **NAR Labs**

Simply supported bridges

- can tolerate large relative movements, easy for retrofit and replacement
- **difficult to ensure that the spans do not become unseated**

continuous superstructures

- can reduce the risk of collapse
- **Superstructure may have a large displacement demand**

continuous superstructures that are integral with their substructures

- can reduce the probability of total collapse
- **the substructure has to suffer large displacement demand due relative displacement across a fault.**

Observations and Discussions NAR Labs

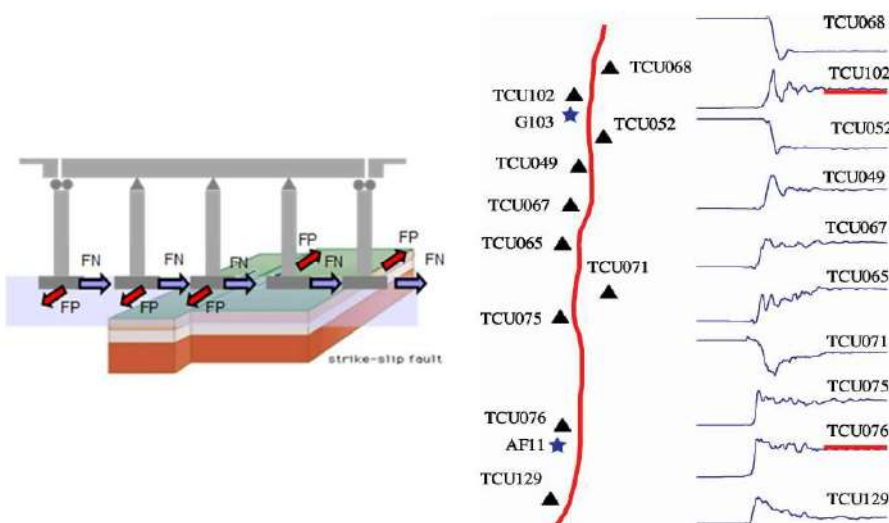
- ❑ Key points: **sufficient displacement capacity**
- ❑ Which component to accommodate the displacement demand?

Continuous bridge with bearings that can accommodate relatively large displacements

- ❑ (FPS, elastomeric bearings, equipped with **energy dissipation devices**...)
- ❑ sufficient support length
- ❑ Unseating Prevention Devices
- ❑ adding extra confinement in the plastic hinge zones of the substructure to provide the maximum displacement capacity.

跨斷層橋梁差異位移

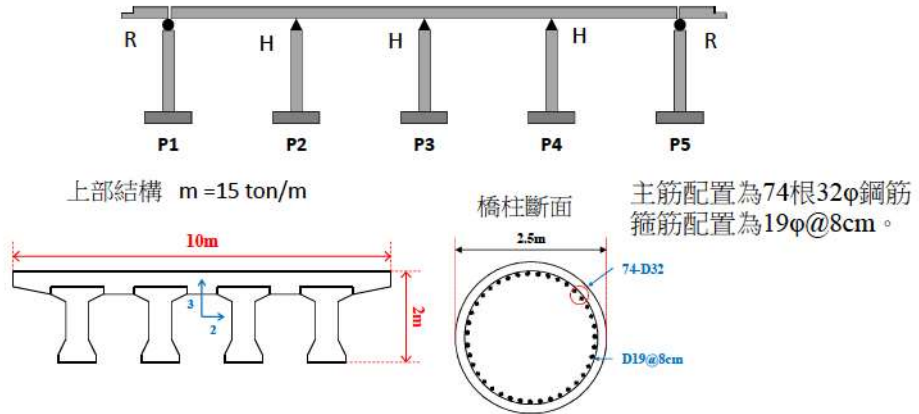
NAR Labs



橋梁模型

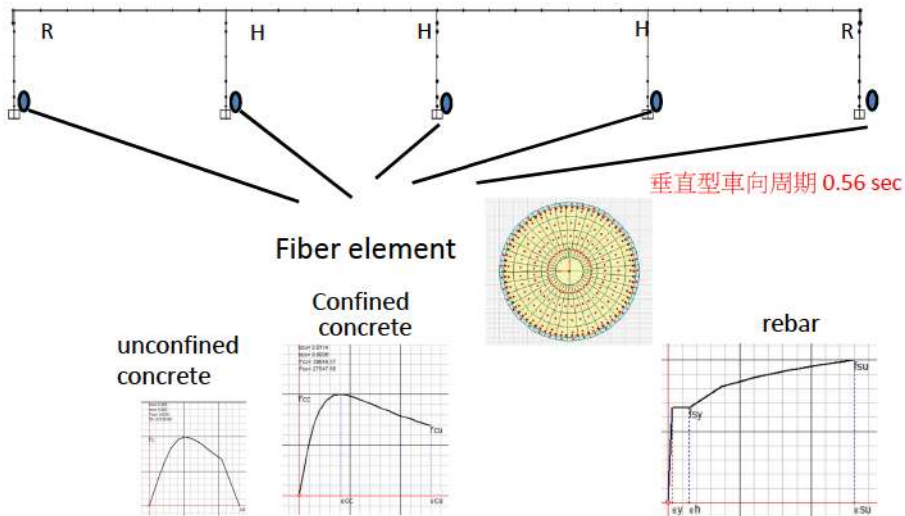
NAR Labs

- 四跨連續橋：4@40m = 160m
- 橋柱：10m之單柱式圓形RC橋柱
- 位置：南投草屯(近車籠埔斷層) 第一類地盤



非線性分析模型

NAR Labs



設計地震

NAR Labs

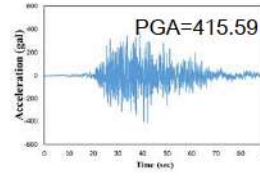
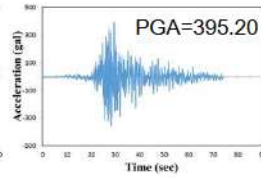
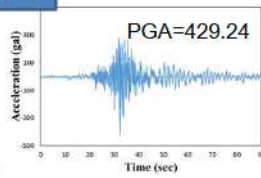
南投草屯(近車籠埔斷層) 第一類地盤

acceleration

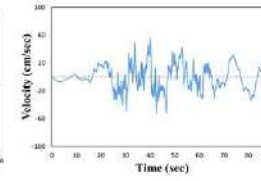
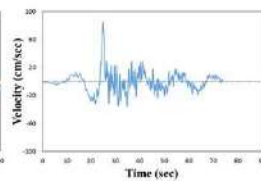
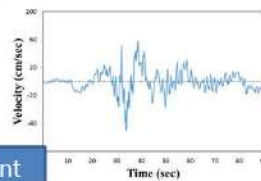
設計地震1

設計地震2

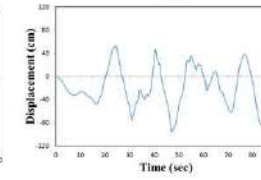
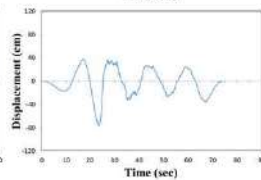
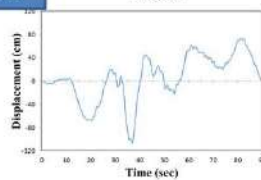
設計地震3



velocity



displacement



近斷層地震 (Chi Chi earthquake)

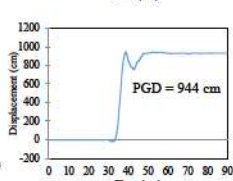
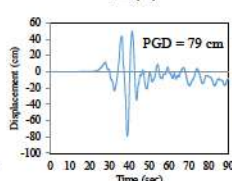
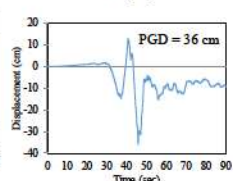
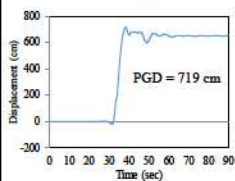
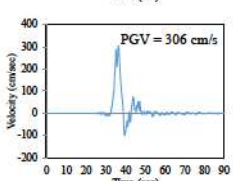
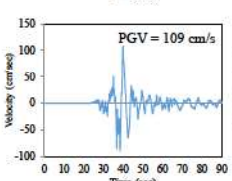
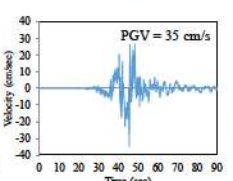
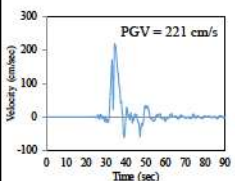
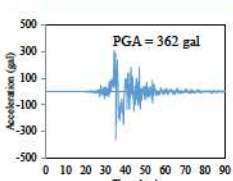
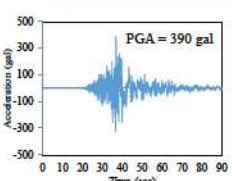
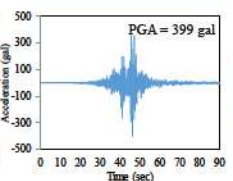
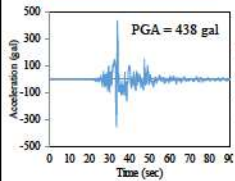
NAR Labs

Station Tcu052

Station Tcu047

Station Chy101

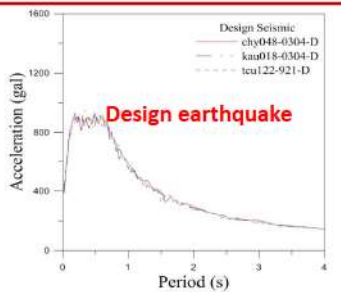
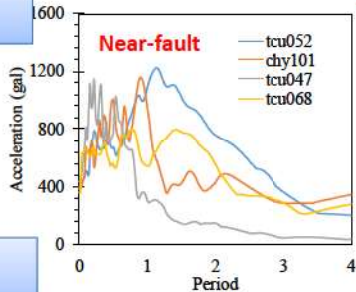
Station Tcu068



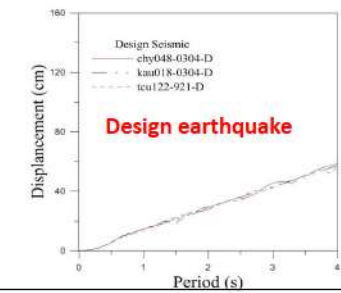
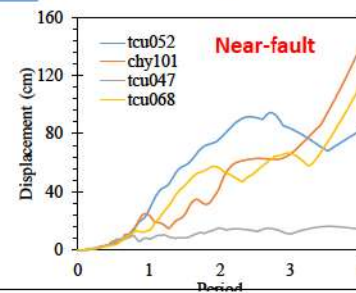
反應譜

NAR Labs

Acceleration response spectrum



Displacement response spectrum



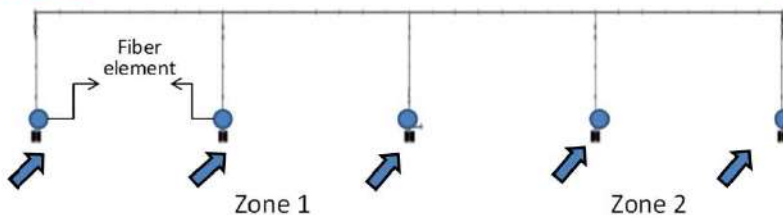
非線性動力歷時分析

NAR Labs

Input displacement time history records

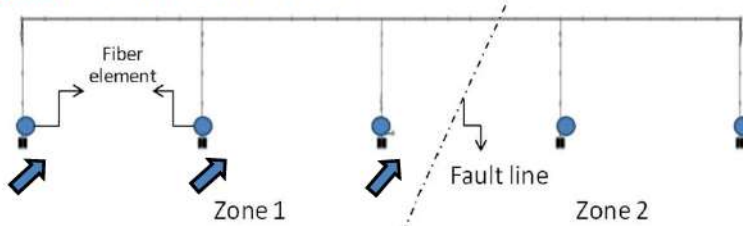
非跨斷層：同時輸入位移歷時於Zone 1 & zone 2

7組地震力



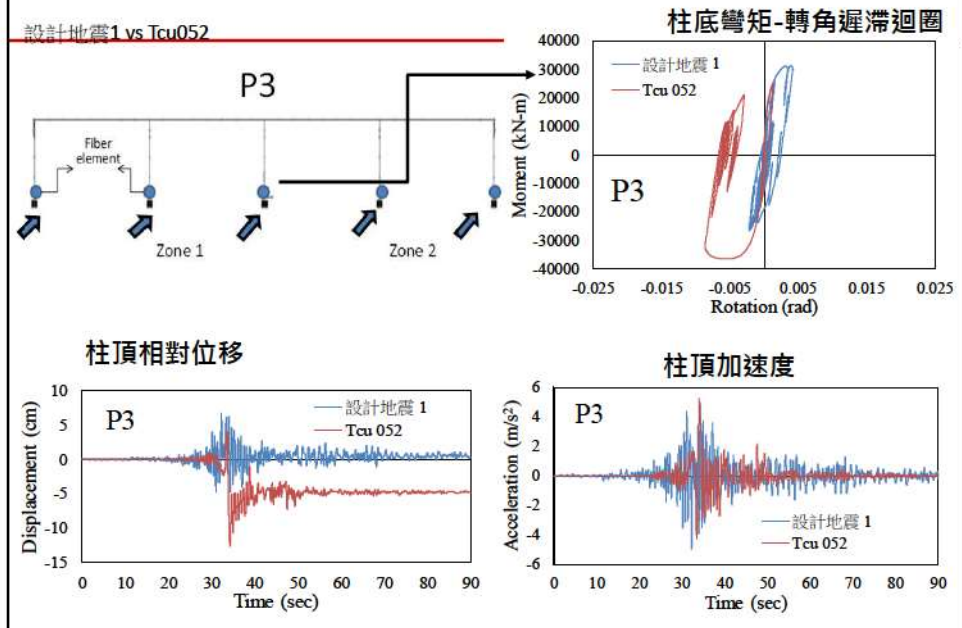
跨斷層：輸入位移歷時於Zone 1

7組地震力

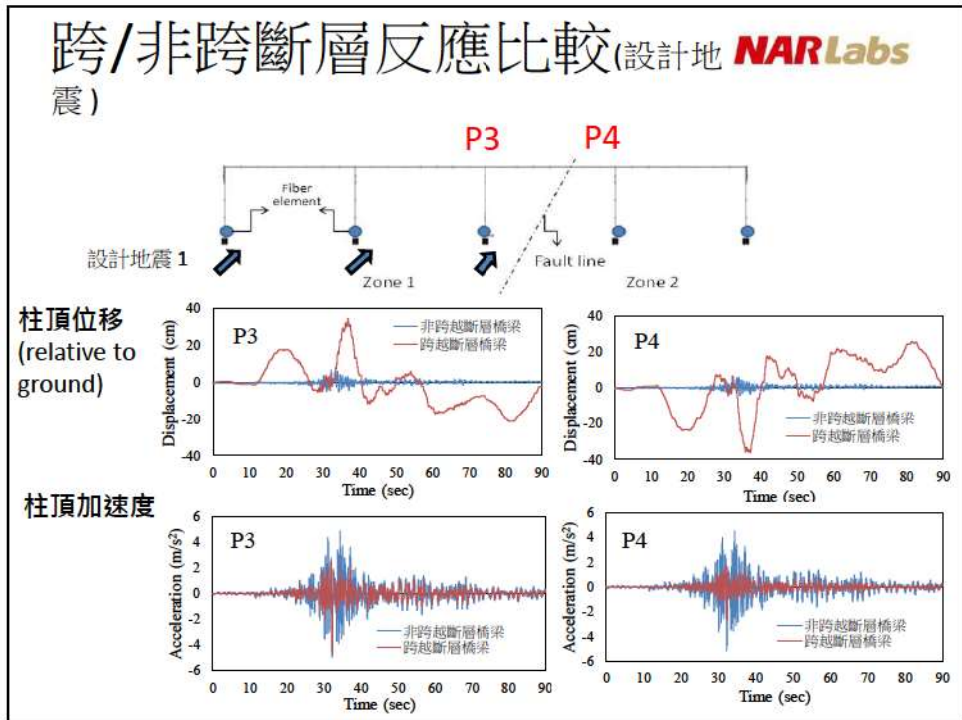


近斷層地震反應和設計地震反應比較

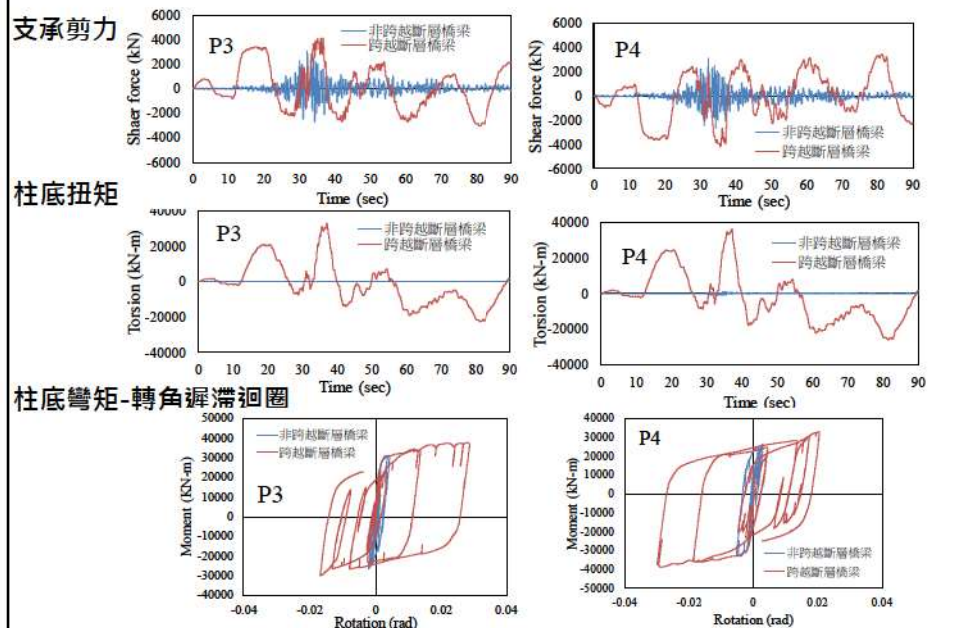
設計地震1 vs Tcu052



跨/非跨斷層反應比較 (設計地震)



跨/非跨斷層反應比較(設計地震)



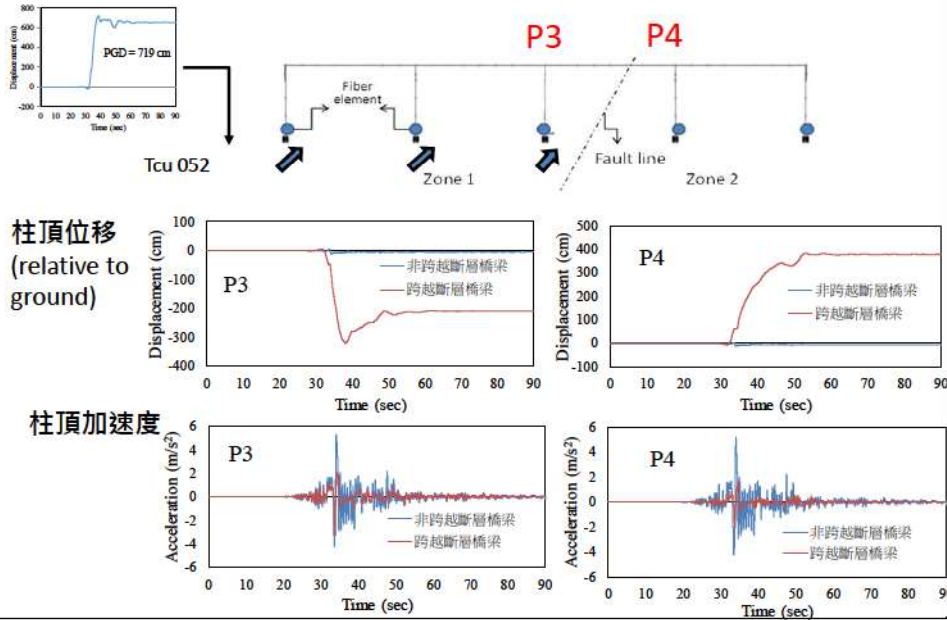
橋梁最大歷時反應之比較 (設計地震)

地震歷時	設計地震1		設計地震2		設計地震3	
	跨斷層	非跨斷層	跨斷層	非跨斷層	跨斷層	非跨斷層
P3柱頂 位移 (cm)	34.63	6.75	21.34	6.4	27.98	7.42
P4柱頂 位移 (cm)	36.19	6.71	27.32	6.06	34.57	6.91
P3柱頂 加速度(gal)	455	497	311	481	307	501
P4柱頂 加速度(gal)	267	512	198	487	220	470
P3支承剪力 (MN)	4.11	3.06	3.67	2.96	3.85	3.03
P4支承剪力 (MN)	4.20	3.10	3.82	2.95	4.23	3.02
P3柱底 扭矩(MN-m)	32.859	0.003	23.382	0.003	28.648	0.003
P4柱底 扭矩(MN-m)	36.288	1.065	27.394	1.107	33.796	1.366
P3柱底 塑性變形比	15.87	2.34	9.211	1.71	12.57	2.22
P4柱底 塑性變形比	16.68	2.93	12.22	1.54	15.85	1.94

θ/θ_y

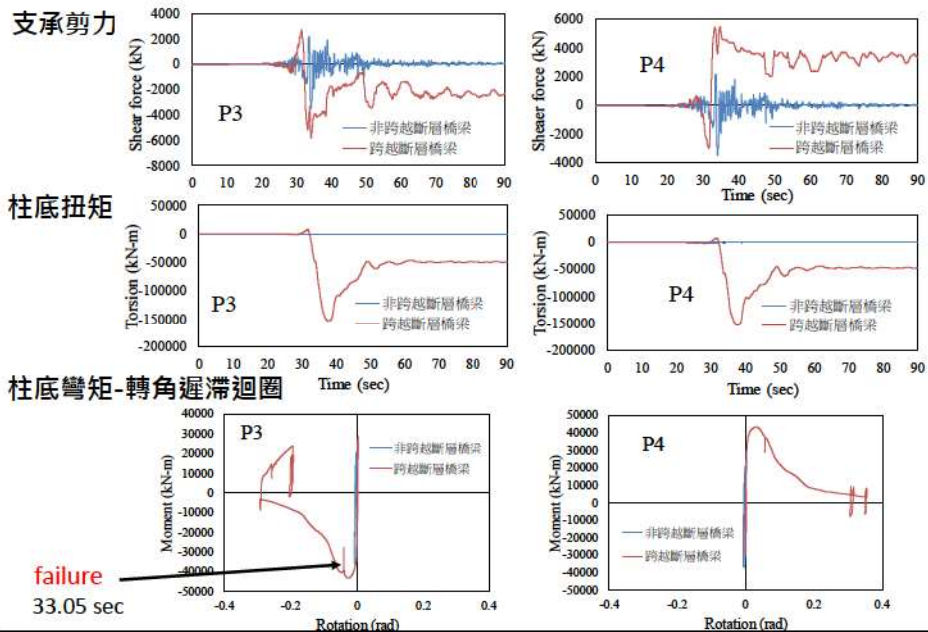
跨/非跨斷層反應比較(Tcu 052)

NAR Labs



跨/非跨斷層反應比較(Tcu 052)

NAR Labs



橋梁最大歷時反應之比較 (near-fault)

地震歷時	TCU047		TCU052		CHY101		TCU068	
歷時最大反應	跨斷層	非跨斷層	跨斷層	非跨斷層	跨斷層	非跨斷層	跨斷層	非跨斷層
P3柱頂位移 (cm)	11.91	7.37	318.23	12.64	23.61	6.12	416.69	10.67
P4柱頂位移 (cm)	11.09	7.04	374.73	12.16	29.05	6.13	523.01	10.00
P3柱頂加速度(gal)	345.16	525	349	517	373	481	148	475
P4柱頂加速度(gal)	187.41	534	218	509	220	491	152	.68
P3支承剪力 (MN)	3.75	3.259	5.84	3.46	4.26	2.92	5.66	3.37
P4支承剪力 (MN)	3.32	3.222	5.51	3.49	4.41	2.98	5.89	3.36
P3柱底扭矩(MN-m)	13.75	0.002	153.26	0.003	24.60	0.002	192.21	0.002
P4柱底扭矩(MN-m)	13.88	0.012	153.03	1.050	27.92	0.83	191.36	1.22
P3柱底塑性變形比	4.45	2.11	162.69*	4.89	10.28	1.57	213.39*	3.83
P4柱底塑性變形比	4.03	1.93	192.02*	4.56	13.05	1.54	270.37*	3.47

結論與討論

NAR Labs

- ✓ 對於跨越斷層橋梁，分析若未考慮同一座橋相鄰橋柱間之斷層錯動，將低估支承剪力，柱底變形和柱底所受扭矩，但高估柱頂加速度反應。
- ✓ 尚須更多橋型比較、支承非線性模擬...不同斷層錯動方向...等等之分析比較，以作為未來擬定跨越斷層橋梁相關設計或減災方案之參考